

Starkniederschlagshöhen und -spenden gemäß KOSTRA-DWD-2020

Rasterfeld 117122

(Zeile 117, Spalte 122)

Regenspende und Bemessungsniederschlagswerte in Abhängigkeit von Wiederkehrzeit T und Dauerstufe D

| Dauerstufe D | | Wiederkehrzeit T | | | | | | | | | | | | | | | | | |
|--------------|-----|------------------|------------|------|------------|------|------------|------|------------|-------|------------|-------|------------|-------|------------|-------|------------|-------|------------|
| | | 1 a | | 2 a | | 3 a | | 5 a | | 10 a | | 20 a | | 30 a | | 50 a | | 100 a | |
| min | Std | mm | l / (s ha) | mm | l / (s ha) | mm | l / (s ha) | mm | l / (s ha) | mm | l / (s ha) | mm | l / (s ha) | mm | l / (s ha) | mm | l / (s ha) | mm | l / (s ha) |
| 5 | | 7,3 | 243,3 | 9,0 | 300,0 | 10,0 | 333,3 | 11,4 | 380,0 | 13,4 | 446,7 | 15,5 | 516,7 | 16,8 | 560,0 | 18,6 | 620,0 | 21,1 | 703,3 |
| 10 | | 9,1 | 151,7 | 11,2 | 186,7 | 12,6 | 210,0 | 14,3 | 238,3 | 16,8 | 280,0 | 19,4 | 323,3 | 21,1 | 351,7 | 23,3 | 388,3 | 26,5 | 441,7 |
| 15 | | 10,3 | 114,4 | 12,7 | 141,1 | 14,2 | 157,8 | 16,2 | 180,0 | 19,0 | 211,1 | 21,9 | 243,3 | 23,8 | 264,4 | 26,3 | 292,2 | 29,9 | 332,2 |
| 20 | | 11,1 | 92,5 | 13,8 | 115,0 | 15,4 | 128,3 | 17,5 | 145,8 | 20,6 | 171,7 | 23,8 | 198,3 | 25,9 | 215,8 | 28,6 | 238,3 | 32,5 | 270,8 |
| 30 | | 12,5 | 69,4 | 15,4 | 85,6 | 17,2 | 95,6 | 19,6 | 108,9 | 23,1 | 128,3 | 26,6 | 147,8 | 28,9 | 160,6 | 32,0 | 177,8 | 36,3 | 201,7 |
| 45 | | 13,9 | 51,5 | 17,2 | 63,7 | 19,2 | 71,1 | 21,9 | 81,1 | 25,7 | 95,2 | 29,7 | 110,0 | 32,3 | 119,6 | 35,6 | 131,9 | 40,5 | 150,0 |
| 60 | 1 | 15,0 | 41,7 | 18,5 | 51,4 | 20,7 | 57,5 | 23,6 | 65,6 | 27,7 | 76,9 | 32,0 | 88,9 | 34,8 | 96,7 | 38,5 | 106,9 | 43,7 | 121,4 |
| 90 | 1,5 | 16,7 | 30,9 | 20,6 | 38,1 | 23,0 | 42,6 | 26,2 | 48,5 | 30,8 | 57,0 | 35,6 | 65,9 | 38,7 | 71,7 | 42,7 | 79,1 | 48,6 | 90,0 |
| 120 | 2 | 18,0 | 25,0 | 22,2 | 30,8 | 24,8 | 34,4 | 28,2 | 39,2 | 33,2 | 46,1 | 38,3 | 53,2 | 41,7 | 57,9 | 46,0 | 63,9 | 52,3 | 72,6 |
| 180 | 3 | 19,9 | 18,4 | 24,6 | 22,8 | 27,5 | 25,5 | 31,3 | 29,0 | 36,8 | 34,1 | 42,5 | 39,4 | 46,2 | 42,8 | 51,1 | 47,3 | 58,1 | 53,8 |
| 240 | 4 | 21,4 | 14,9 | 26,5 | 18,4 | 29,6 | 20,6 | 33,7 | 23,4 | 39,6 | 27,5 | 45,7 | 31,7 | 49,7 | 34,5 | 55,0 | 38,2 | 62,5 | 43,4 |
| 360 | 6 | 23,8 | 11,0 | 29,4 | 13,6 | 32,8 | 15,2 | 37,4 | 17,3 | 44,0 | 20,4 | 50,7 | 23,5 | 55,2 | 25,6 | 61,0 | 28,2 | 69,3 | 32,1 |
| 540 | 9 | 26,4 | 8,1 | 32,6 | 10,1 | 36,4 | 11,2 | 41,5 | 12,8 | 48,7 | 15,0 | 56,2 | 17,3 | 61,1 | 18,9 | 67,6 | 20,9 | 76,8 | 23,7 |
| 720 | 12 | 28,3 | 6,6 | 35,0 | 8,1 | 39,2 | 9,1 | 44,6 | 10,3 | 52,4 | 12,1 | 60,5 | 14,0 | 65,8 | 15,2 | 72,7 | 16,8 | 82,6 | 19,1 |
| 1080 | 18 | 31,4 | 4,8 | 38,8 | 6,0 | 43,4 | 6,7 | 49,4 | 7,6 | 58,1 | 9,0 | 67,0 | 10,3 | 72,9 | 11,3 | 80,5 | 12,4 | 91,5 | 14,1 |
| 1440 | 24 | 33,8 | 3,9 | 41,7 | 4,8 | 46,7 | 5,4 | 53,1 | 6,1 | 62,5 | 7,2 | 72,1 | 8,3 | 78,4 | 9,1 | 86,6 | 10,0 | 98,5 | 11,4 |
| 2880 | 48 | 40,3 | 2,3 | 49,7 | 2,9 | 55,6 | 3,2 | 63,3 | 3,7 | 74,4 | 4,3 | 85,9 | 5,0 | 93,4 | 5,4 | 103,2 | 6,0 | 117,3 | 6,8 |
| 4320 | 72 | 44,6 | 1,7 | 55,1 | 2,1 | 61,6 | 2,4 | 70,2 | 2,7 | 82,5 | 3,2 | 95,2 | 3,7 | 103,5 | 4,0 | 114,4 | 4,4 | 130,0 | 5,0 |
| 5760 | 96 | 48,0 | 1,4 | 59,3 | 1,7 | 66,3 | 1,9 | 75,4 | 2,2 | 88,7 | 2,6 | 102,3 | 3,0 | 111,3 | 3,2 | 123,0 | 3,6 | 139,8 | 4,0 |
| 7200 | 120 | 50,7 | 1,2 | 62,7 | 1,5 | 70,1 | 1,6 | 79,8 | 1,8 | 93,8 | 2,2 | 108,3 | 2,5 | 117,7 | 2,7 | 130,1 | 3,0 | 147,9 | 3,4 |
| 8640 | 144 | 53,1 | 1,0 | 65,7 | 1,3 | 73,4 | 1,4 | 83,6 | 1,6 | 98,3 | 1,9 | 113,4 | 2,2 | 123,3 | 2,4 | 136,3 | 2,6 | 154,9 | 3,0 |
| 10080 | 168 | 55,3 | 0,9 | 68,3 | 1,1 | 76,3 | 1,3 | 86,9 | 1,4 | 102,2 | 1,7 | 117,9 | 1,9 | 128,2 | 2,1 | 141,7 | 2,3 | 161,0 | 2,7 |

Starkniederschlagshöhen und -spenden gemäß KOSTRA-DWD-2020

Rasterfeld 117122

(Zeile 117, Spalte 122)

Örtliche Unsicherheiten in Abhängigkeit von Wiederkehrzeit T und Dauerstufe D

| Dauerstufe D | | Wiederkehrzeit T | | | | | | | | |
|--------------|-----|------------------|-----|-----|-----|------|------|------|------|-------|
| | | 1 a | 2 a | 3 a | 5 a | 10 a | 20 a | 30 a | 50 a | 100 a |
| min | Std | ± % | ± % | ± % | ± % | ± % | ± % | ± % | ± % | ± % |
| 5 | | 12 | 13 | 14 | 15 | 16 | 16 | 17 | 17 | 18 |
| 10 | | 14 | 16 | 17 | 18 | 19 | 20 | 21 | 21 | 22 |
| 15 | | 16 | 18 | 19 | 20 | 21 | 22 | 23 | 23 | 24 |
| 20 | | 17 | 19 | 20 | 21 | 22 | 23 | 24 | 24 | 25 |
| 30 | | 17 | 19 | 20 | 22 | 23 | 24 | 24 | 25 | 26 |
| 45 | | 17 | 19 | 20 | 22 | 23 | 24 | 24 | 25 | 26 |
| 60 | 1 | 17 | 19 | 20 | 21 | 23 | 24 | 24 | 25 | 25 |
| 90 | 1,5 | 16 | 18 | 19 | 20 | 22 | 23 | 23 | 24 | 24 |
| 120 | 2 | 15 | 17 | 19 | 20 | 21 | 22 | 23 | 23 | 24 |
| 180 | 3 | 14 | 16 | 17 | 19 | 20 | 21 | 21 | 22 | 23 |
| 240 | 4 | 13 | 16 | 17 | 18 | 19 | 20 | 20 | 21 | 22 |
| 360 | 6 | 12 | 15 | 16 | 17 | 18 | 19 | 19 | 20 | 20 |
| 540 | 9 | 12 | 14 | 15 | 16 | 17 | 18 | 18 | 19 | 19 |
| 720 | 12 | 11 | 13 | 14 | 15 | 16 | 17 | 17 | 18 | 18 |
| 1080 | 18 | 11 | 12 | 13 | 14 | 15 | 16 | 16 | 17 | 17 |
| 1440 | 24 | 11 | 12 | 13 | 14 | 15 | 15 | 16 | 16 | 17 |
| 2880 | 48 | 12 | 13 | 13 | 13 | 14 | 15 | 15 | 15 | 16 |
| 4320 | 72 | 14 | 14 | 14 | 14 | 14 | 15 | 15 | 15 | 16 |
| 5760 | 96 | 15 | 14 | 14 | 15 | 15 | 15 | 15 | 16 | 16 |
| 7200 | 120 | 16 | 15 | 15 | 15 | 15 | 15 | 16 | 16 | 16 |
| 8640 | 144 | 17 | 16 | 16 | 16 | 16 | 16 | 16 | 16 | 16 |
| 10080 | 168 | 17 | 16 | 16 | 16 | 16 | 16 | 16 | 16 | 17 |

Parameter für abweichende T und D

Lokationsparameter ξ (Xi)

15,15366259

Skalenparameter α (Alpha)

4,96067336

Formparameter κ (Kappa)

-0,1

1. Koutsoyiannis-Parameter θ (Theta)

0,01300723

2. Koutsoyiannis-Parameter η (Eta)

0,74737962

Parameter für dauerstufenübergreifende Extremwertschätzung nach KOUTSOYIANNIS et al. 1998.

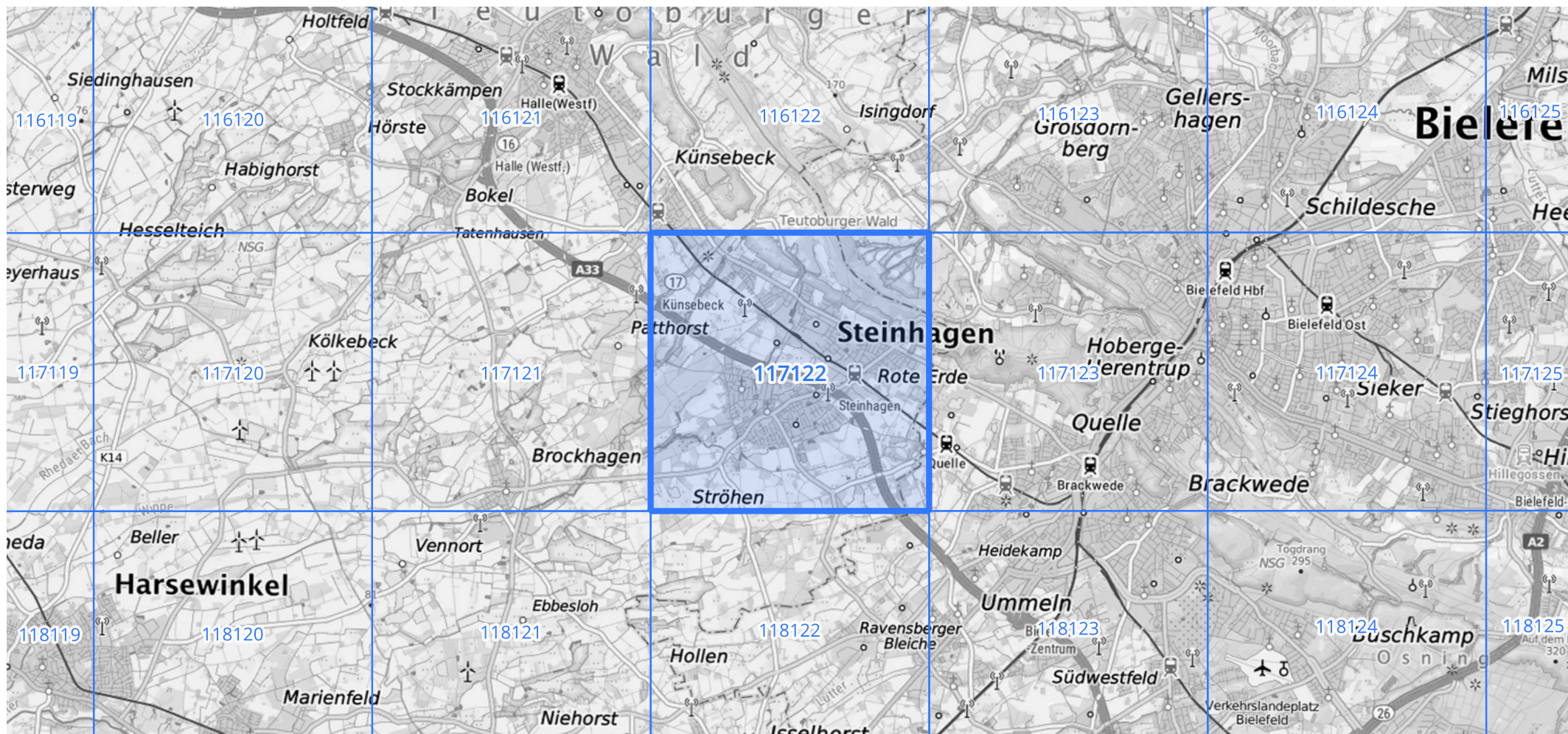
Siehe auch Anwendungshilfe zu KOSTRA-DWD-2020 des Deutschen Wetterdienstes.

Starkniederschlagshöhen und -spenden gemäß KOSTRA-DWD-2020

Rasterfeld 117122

(Zeile 117, Spalte 122)

Übersichtskarte des Rasterfeldes 117122, M 1 : 100 000



Quelle Rasterdaten: KOSTRA-DWD-2020 des Deutschen Wetterdienstes, Stand 12/2022.

Seite 3 von 3

Kartendarstellung: © Bundesamt für Kartographie und Geodäsie (2023), Datenquellen: https://sgx.geodatenzentrum.de/web_public/gdz/datenquellen/Datenquellen_TopPlusOpen.html

Für die Richtigkeit und Aktualität der Angaben wird keine Gewähr übernommen. Erstellt 01/2023.